

[1] 微小弾性体のある一点の応力を図 1.1 の微小三角形 ABC に示す. このとき以下の問いに答えよ. ただしこの三角形は平面応力状態にあり,  $0^\circ \leq \theta \leq 180^\circ$ , AB の面積を  $S$ , z 軸方向厚さを単位長さとする.

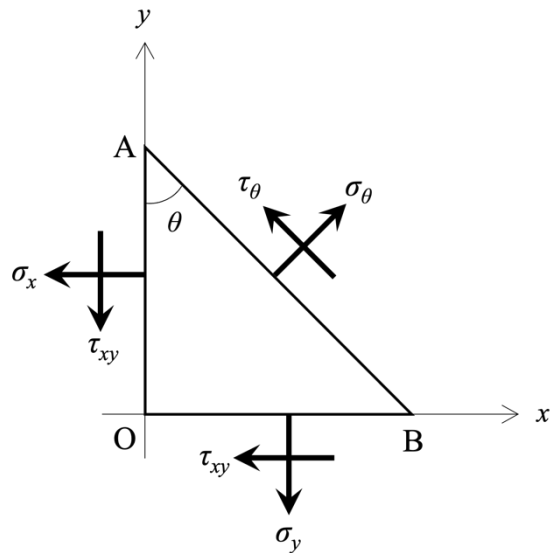


Fig.1 微小弾性体の応力状態

- (1) 図 1 の  $\theta$  方向とその法線方向について力のつり合い式を立てることにより,  $\sigma_\theta$ ,  $\tau_\theta$  をそれぞれ  $\sigma_x$ ,  $\sigma_y$ ,  $\tau_{xy}$ ,  $\sin 2\theta$ ,  $\cos 2\theta$  を用いて表せ.
- (2) (1)で求めた  $\sigma_\theta$ ,  $\tau_\theta$  を表す 2 式より  $\theta$  を消去して, モールの応力円を表す以下の式を導出せよ.

$$\left( \sigma_\theta - \frac{\sigma_x + \sigma_y}{2} \right)^2 + \tau_\theta^2 = \frac{1}{4} (\sigma_x - \sigma_y)^2 + \tau_{xy}^2$$

- (3)  $\sigma_x = 3\sigma$ ,  $\sigma_y = \sigma$ ,  $\tau_{xy} = \sqrt{3}\sigma$  のとき, 応力テンソル  $[\sigma]$  を求め, 図 1 におけるモールの応力円を  $\sigma$ - $\tau$  平面上に描け.
- (4) (3)で描いたモールの応力円を用いて, 主応力  $(\sigma_1, \sigma_2)$  を求めよ. ただし,  $\sigma_1 < \sigma_2$  とする.

(1) 図 1 の  $\theta$  方向とその法線方向について力のつり合い式を立てることにより,  $\sigma_\theta, \tau_\theta$  をそれぞれ  $\sigma_x, \sigma_y, \tau_{xy}, \sin 2\theta, \cos 2\theta$  を用いて表せ.

$\theta$  方向の力のつり合いより, 次式が得られる.

$$\tau_\theta \cdot S + \sigma_x \sin \theta \cdot S \cos \theta - \tau_{xy} \cos \theta \cdot S \cos \theta - \sigma_y \cos \theta \cdot S \sin \theta + \tau_{xy} \sin \theta \cdot S \sin \theta = 0 \quad (1.1)$$

$\theta$  方向に対する法線方向の力のつり合いより, 次式が得られる.

$$\sigma_\theta \cdot S - \sigma_x \cos \theta \cdot S \cos \theta - \tau_{xy} \sin \theta \cdot S \cos \theta - \sigma_y \sin \theta \cdot S \sin \theta - \tau_{xy} \cos \theta \cdot S \sin \theta = 0 \quad (1.2)$$

上式を 2 倍角の公式を用いてそれぞれ表すと

$$\tau_\theta = -\frac{1}{2}\sigma_x \sin 2\theta + \frac{1}{2}\sigma_y \sin 2\theta + \tau_{xy} \cos 2\theta \quad (1.3)$$

$$\sigma_\theta = \frac{1}{2}\sigma_x (\cos 2\theta + 1) + \frac{1}{2}\sigma_y (1 - \cos 2\theta) + \tau_{xy} \sin 2\theta \quad (1.4)$$

それぞれ整理すると

$$\tau_\theta = \frac{1}{2}(\sigma_y - \sigma_x) \sin 2\theta + \tau_{xy} \cos 2\theta \quad (1.5)$$

$$\sigma_\theta = \frac{1}{2}(\sigma_x + \sigma_y) + \frac{1}{2}(\sigma_x - \sigma_y) \cos 2\theta + \tau_{xy} \sin 2\theta \quad (1.6)$$

(2) (1)で求めた  $\sigma_\theta, \tau_\theta$  を表す 2 式より  $\theta$  を消去して, モールの応力円を表す以下の式を導出せよ.

$$\left( \sigma_\theta - \frac{\sigma_x + \sigma_y}{2} \right)^2 + \tau_\theta^2 = \frac{1}{4}(\sigma_x - \sigma_y)^2 + \tau_{xy}^2 \quad (1.7)$$

与式の左辺に(1)で求めた二式を代入する

$$\begin{aligned}
& \left( \sigma_{\theta} - \frac{\sigma_x + \sigma_y}{2} \right)^2 + \tau_{\theta}^2 \\
&= \left\{ \frac{1}{2}(\sigma_x + \sigma_y) + \frac{1}{2}(\sigma_x - \sigma_y) \cos 2\theta + \tau_{xy} \sin 2\theta - \frac{1}{2}(\sigma_x + \sigma_y) \right\}^2 \\
&\quad + \left\{ \frac{1}{2}(\sigma_y - \sigma_x) \sin 2\theta + \tau_{xy} \cos 2\theta \right\}^2 \\
&= \left\{ \frac{1}{2}(\sigma_x - \sigma_y) \cos 2\theta + \tau_{xy} \right\}^2 + \left\{ \frac{1}{2}(\sigma_y - \sigma_x) \sin 2\theta + \tau_{xy} \cos 2\theta \right\}^2 \\
&= \frac{1}{4}(\sigma_x - \sigma_y)^2 \cos^2 2\theta + \tau_{xy} (\sigma_x - \sigma_y) \cos 2\theta + \tau_{xy}^2 \\
&\quad + \frac{1}{4}(\sigma_y - \sigma_x)^2 \sin^2 2\theta + \tau_{xy} (\sigma_y - \sigma_x) \sin 2\theta + \tau_{xy}^2 \cos^2 2\theta \\
&= \frac{1}{4}(\sigma_x - \sigma_y)^2 + \tau_{xy}^2
\end{aligned} \tag{1.8}$$

(3)  $\sigma_x = 3\sigma$ ,  $\sigma_y = \sigma$ ,  $\tau_{xy} = \sqrt{3}\sigma$  のとき, 応力テンソル  $[\sigma]$  を求め, 図 1.1 におけるモールの応力円を  $\sigma$ - $\tau$  平面上に描け.

応力テンソルは以下のように表される.

$$[\sigma] = \begin{pmatrix} \sigma_x & \tau_{xy} \\ \tau_{yx} & \sigma_y \end{pmatrix} \tag{1.9}$$

それぞれ値を代入すると

$$[\sigma] = \begin{pmatrix} \sigma_x & \tau_{xy} \\ \tau_{yx} & \sigma_y \end{pmatrix} = \begin{pmatrix} 3\sigma & \sqrt{3}\sigma \\ -\sqrt{3}\sigma & \sigma \end{pmatrix} \tag{1.10}$$

これより, モールの応力円は以下の図のようになる.

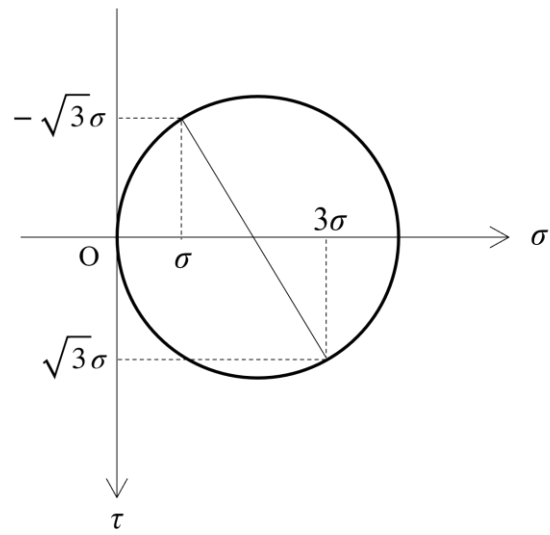


Fig. 1.1 モールの応力円

(4) (3)で描いたモールの応力円を用いて、主応力( $\sigma_1, \sigma_2$ )を求めよ。ただし、 $\sigma_1 < \sigma_2$ とする。

本題は、平面応力状態であり、板厚方向の荷重は0である。

主応力はモールの応力円と $\sigma$ 軸との交点であるから、モールの応力円の中心の $\sigma$ 座標、及び半径を求ることで、2つの主応力が求められる。

中心の $\sigma$ 座標は

$$\sigma_c = \frac{1}{2}(\sigma_x + \sigma_y) = \frac{1}{2}(3\sigma + \sigma) = 2\sigma \quad (1.11)$$

半径は

$$r = \frac{1}{2} \sqrt{(\sigma_x - \sigma_y)^2 + 4\tau_{xy}^2} = \frac{1}{2} \sqrt{(3\sigma - \sigma)^2 + 4(\sqrt{3}\sigma)^2} = 2\sigma \quad (1.12)$$

以上より、主応力 $\sigma_1, \sigma_2$ は

$$\sigma_1 = \sigma_c - r = 2\sigma - 2\sigma = 0 \quad (1.13)$$

$$\sigma_2 = \sigma_c + r = 2\sigma + 2\sigma = 4\sigma \quad (1.14)$$

[2] 図 1 は板厚が十分に薄い弾性体のある点における応力状態を示し、図 1(c)は図 1 (a), (b)の応力状態を重ね合わせた様子を示している。このとき以下の設間に答えよ。ただし  $z$  方向は板厚方向とし、板厚が十分薄いため平面応力状態と仮定する。また図において力の向きは矢印の向きとし、正負に注意して答えよ。

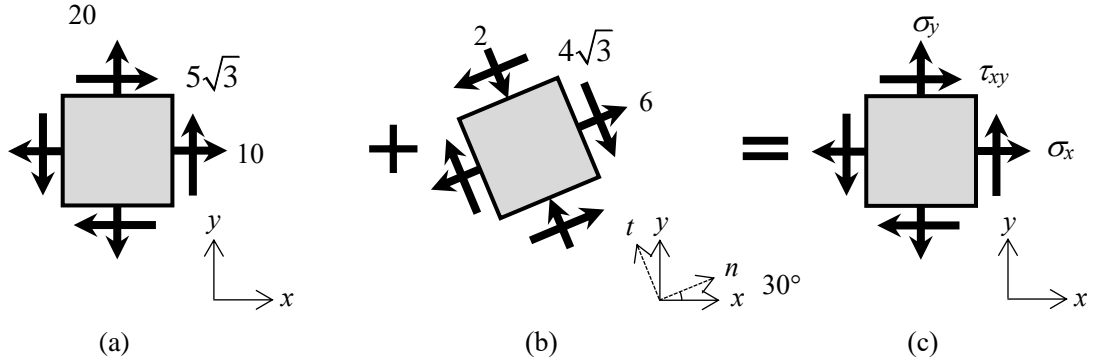


Fig.1 弾性体のある点における応力状態

図 1(a)について、以下の設間に答えよ。

- (1)  $x-y$  座標系における応力テンソルを求めよ。
- (2)  $x-y$  座標系におけるモールの応力円を描き、その中心と半径を記せ。  
(※図中には「 $x-y$  座標系における応力テンソル」の座標も明記すること)
- (3) モールの応力円より主応力  $\sigma_1, \sigma_2$  及び主方向  $\theta_1, \theta_2$  を求めよ。  
ただし、主応力は  $\sigma_1 > \sigma_2$ 、主方向は  $-90^\circ \leq \theta_2 < \theta_1 \leq 90^\circ$  とする。

図 1(b)について、以下の設間に答えよ。

- (4)  $n-t$  座標系における応力テンソルを求めよ。
- (5)  $n-t$  座標系におけるモールの応力円を描き、その中心と半径を記せ。  
(※図中には「 $n-t$  座標系における応力テンソル」の座標も明記すること)
- (6)  $x-y$  座標系における応力テンソルを求めよ。

図 1(c)について、以下の設間に答えよ。

- (7)  $x-y$  座標系におけるモールの応力円を描き、その中心と半径を図に記せ。  
(※図中には「 $x-y$  座標系における応力テンソル」の座標も明記すること)
- (8) 板に作用する主応力  $(\sigma_1, \sigma_2)$  を求めよ。ただし主応力は  $\sigma_1 > \sigma_2$  とする。
- (9) 最大せん断応力  $\tau_{\max}$  を求めよ。 (平面応力状態に着目)

図 1(a)について、以下の設問に答えよ。

(1)  $x-y$  座標系における応力テンソルを求めよ。

図 1(a)における応力テンソルは以下の式(2.1)のよう表すことができる。

$$\begin{pmatrix} \sigma_x & \tau_{xy} \\ \tau_{xy} & \sigma_y \end{pmatrix} = \begin{pmatrix} 10 & 5\sqrt{3} \\ 5\sqrt{3} & 20 \end{pmatrix} \quad (2.1)$$

(2)  $x-y$  座標系におけるモールの応力円を描き、その中心と半径を記せ。

(※図中には「 $x-y$  座標系における応力テンソル」の座標も明記すること)

式(2.1)より、モールの応力円は以下の図 2.1 のように描くことができる。

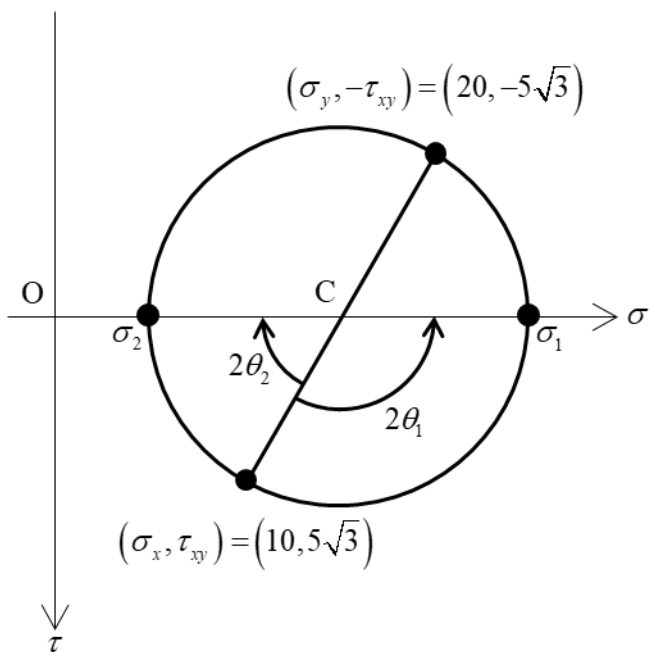


Fig. 2.1 (a)のモールの応力円

中心と半径は以下の式(2.2), 式(2.3)のように求めることができる。

$$\begin{aligned} \text{中心} \quad \sigma_c &= \frac{1}{2}(\sigma_x + \sigma_y) = \frac{1}{2}(10 + 20) = 15 \\ &\therefore (\sigma_c, 0) = (15, 0) \end{aligned} \quad (2.2)$$

$$\begin{aligned} \text{半径} \quad r &= \frac{1}{2} \sqrt{(\sigma_x - \sigma_y)^2 + 4\tau_{xy}^2} = \frac{1}{2} \sqrt{(-10)^2 + 4 \times (5\sqrt{3})^2} = 10 \\ &\therefore r = 10 \end{aligned} \quad (2.3)$$

(3) モールの応力円より主応力 $\sigma_1, \sigma_2$ , 及び主方向 $\theta_1, \theta_2$ を求めよ.

ただし, 主応力は $\sigma_1 > \sigma_2$ , 主方向は $-90^\circ \leq \theta_2 < \theta_1 \leq 90^\circ$ とする.

図 2.1 より, 主応力と主方向は以下の式(2.4), 式(2.5)のように求めることができる.

$$\text{主応力} \quad \begin{pmatrix} \sigma_1 \\ \sigma_2 \end{pmatrix} = \begin{pmatrix} \sigma_c + r \\ \sigma_c - r \end{pmatrix} = \begin{pmatrix} 25 \\ 5 \end{pmatrix} \quad (2.4)$$

$$\tan 2\theta_1 = \frac{2\tau_{xy}}{\sigma_x - \sigma_y} = -\sqrt{3}$$

$$\text{主方向} \quad \therefore \theta_1 = \frac{\tan^{-1}(-\sqrt{3})}{2} = 60^\circ \quad (2.5)$$

$$\therefore \theta_2 = \theta_1 - 90^\circ = -30^\circ$$

図 1(b)について, 以下の設間に答えよ.

(4)  $n-t$  座標系における応力テンソルを求めよ.

図 1(b)における応力テンソルは以下の式(2.6)のように表すことができる.

$$\begin{pmatrix} \sigma_x & \tau_{xy} \\ \tau_{xy} & \sigma_y \end{pmatrix} = \begin{pmatrix} 6 & -4\sqrt{3} \\ -4\sqrt{3} & -2 \end{pmatrix} \quad (2.6)$$

(5)  $n-t$  座標系におけるモールの応力円を描き、その中心と半径を記せ。

(※図中には「 $n-t$  座標系における応力テンソル」の座標も明記すること)  
式(1.1)より、モールの応力円は以下の図 2.2 のように描くことができる。

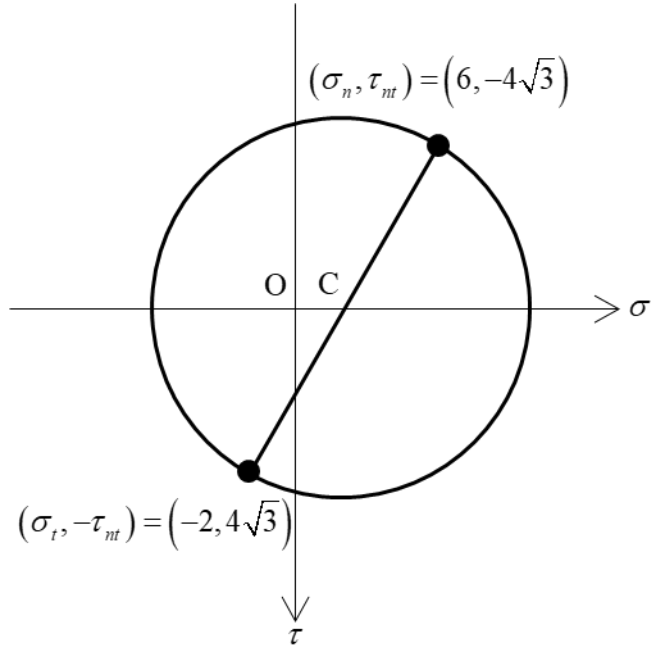


Fig. 2.2 (b)のモールの応力円

中心と半径は以下の式(2.7), 式(2.8)のように求めることができる。

$$\begin{aligned} \text{中心} \quad \sigma_c &= \frac{1}{2}(\sigma_x + \sigma_y) = \frac{1}{2}(6 - 2) = 2 \\ &\therefore (\sigma_c, 0) = (2, 0) \end{aligned} \tag{2.7}$$

$$\begin{aligned} \text{半径} \quad r &= \frac{1}{2}\sqrt{(\sigma_x - \sigma_y)^2 + 4\tau_{xy}^2} = \frac{1}{2}\sqrt{8^2 + 4 \times (-4\sqrt{3})^2} = 8 \\ &\therefore r = 8 \end{aligned} \tag{2.8}$$

(6)  $x-y$  座標系における応力テンソルを求めよ。

図 1(b)を見ると、 $n-t$  座標系は  $x-y$  座標系を  $30^\circ$ 回転させたものだとわかるため、 $n-t$  座標系から  $x-y$  座標系に変換するためには $-30^\circ$ 回転させればよいこととなる。すなわち、モールの応力円上では $-60^\circ$ 回転させればよい。

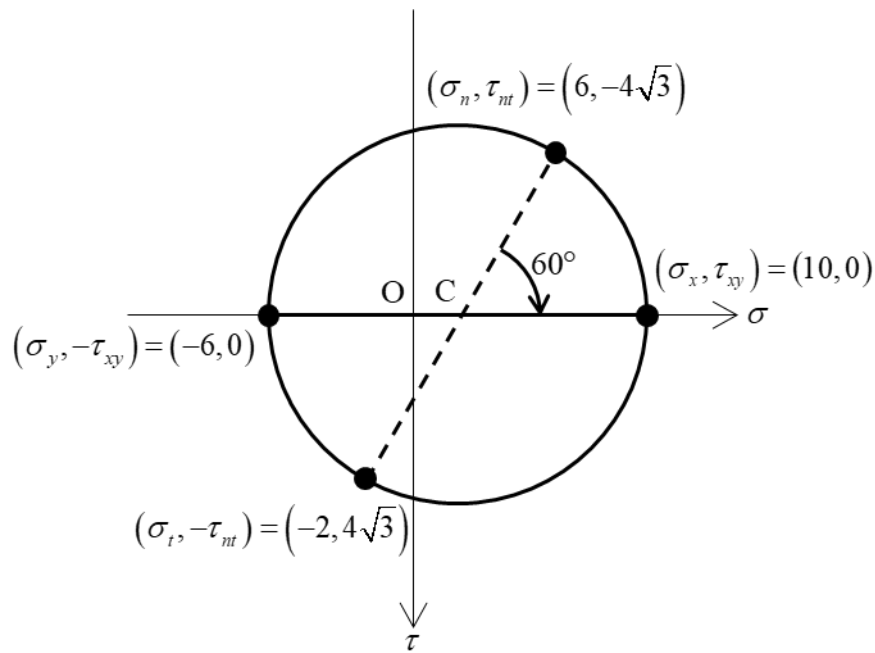


Fig. 2.3 (b)の  $x$ - $y$  座標系のモールの応力円

図 1(c)について、以下の設問に答えよ。

(7)  $x$ - $y$  座標系におけるモールの応力円を描き、その中心と半径を図に記せ。

(※図中には「 $x$ - $y$  座標系における応力テンソル」の座標も明記すること)

図 1(c)における応力テンソルは、式(2.1)と式(2.6)を利用して以下の式(2.9)のように表すことができる。

$$\begin{pmatrix} \sigma_x & \tau_{xy} \\ \tau_{xy} & \sigma_y \end{pmatrix} = \begin{pmatrix} 10 & 5\sqrt{3} \\ 5\sqrt{3} & 20 \end{pmatrix} + \begin{pmatrix} 10 & 0 \\ 0 & -6 \end{pmatrix} = \begin{pmatrix} 20 & 5\sqrt{3} \\ 5\sqrt{3} & 14 \end{pmatrix} \quad (2.9)$$

式(2.9)より、モールの応力円は以下の図 2.4 のように描くことができる。

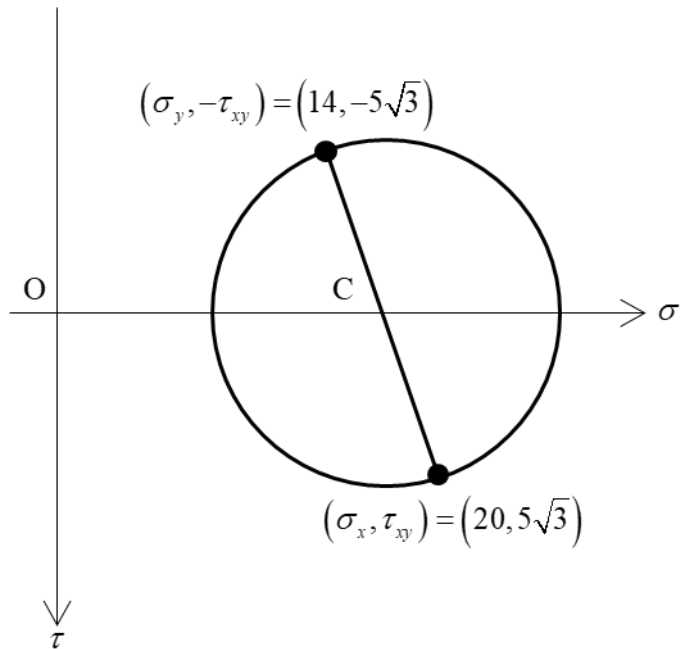


Fig. 2.4 (c)のモールの応力円

中心と半径は以下の式(2.10), 式(2.11)のように求めることができる.

$$\begin{aligned} \text{中心} \quad \sigma_c &= \frac{1}{2}(\sigma_x + \sigma_y) = \frac{1}{2}(10 + 14) = 17 \\ &\therefore (\sigma_c, 0) = (17, 0) \end{aligned} \tag{2.10}$$

$$\begin{aligned} \text{半径} \quad r &= \frac{1}{2} \sqrt{(\sigma_x - \sigma_y)^2 + 4\tau_{xy}^2} = \frac{1}{2} \sqrt{6^2 + 4 \times (5\sqrt{3})^2} = 2\sqrt{21} \\ &\therefore r = 2\sqrt{21} \end{aligned} \tag{2.11}$$

(8) 板に作用する主応力( $\sigma_1, \sigma_2$ )を求めよ. ただし, 主応力は  $\sigma_1 > \sigma_2$  とする.

図 2.4 より, 主応力は以下の式(2.12)のように求めることができる.

$$\begin{pmatrix} \sigma_1 \\ \sigma_2 \end{pmatrix} = \begin{pmatrix} \sigma_c + r \\ \sigma_c - r \end{pmatrix} = \begin{pmatrix} 17 + 2\sqrt{21} \\ 17 - 2\sqrt{21} \end{pmatrix} \tag{2.12}$$

(9) 最大せん断応力  $\tau_{max}$  を求めよ. (平面応力状態に着目)

平面応力状態のため, 板厚方向主応力  $\sigma_3$  は 0 となる. よって, 3 次元での主応力は以下の式(2.13)のように表すことができる.

$$(\sigma_1, \sigma_2, \sigma_3) = (17 + 2\sqrt{21}, 17 - 2\sqrt{21}, 0) \tag{2.13}$$

3次元のモールの応力円を描くと以下の図 2.5 のようになる。

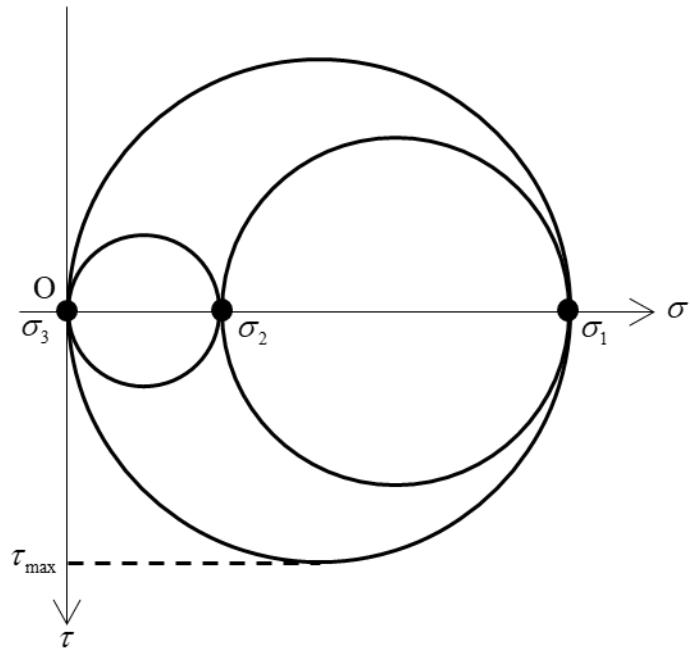


Fig. 2.5 (c)の3次元のモールの応力円

よって、最大せん断応力は以下の式(2.14)のように求めることができる。

$$\tau_{\max} = \frac{\sigma_1 - \sigma_3}{2} = \frac{17 + 2\sqrt{21} - 0}{2} = \frac{17 + 2\sqrt{21}}{2} \quad (2.14)$$